

# pH值对模拟体液中羟磷灰石晶体生长的调控

万梦娇, 王长秋, 孟繁露, 鲁安怀, 李艳

(造山带与地壳演化教育部重点实验室, 北京大学 地球与空间科学学院, 北京 100871)

**摘要:** 在37℃时, 配制了与人体血液等钙磷比的模拟体液(SBF), 在不同pH值下合成了含钙磷酸盐。通过X射线电子衍射(XRD)、傅立叶红外吸收光谱(FTIR)、扫描电子显微镜(SEM)、透射电子显微镜(TEM)对磷酸盐的物相组成、微观形貌进行了表征。结果表明, pH=5.9时, 能生成晶型较完好的磷酸氢钙(DCPD)、磷酸八钙(OCP)和羟磷灰石(HA)的混合物, 其中DCPD片状晶体长约10 μm, 宽约3 μm; OCP片状晶体长约200 nm, 宽50~100 nm; HA棒状晶体长约200 nm, 宽约10 nm, HA柱状晶体长40~50 nm, 宽约20 nm。pH=5.9~6.4时, HA晶体的长径比随pH值增加而增大, 晶体沿c轴生长。pH>6.4时, 产物为HA, 且其长径比随pH值的增加而减小。pH=5.9~8.9时, HA的结晶度随pH值增加而降低。实验时空气中的CO<sub>2</sub>溶入矿化液, 形成的CO<sub>3</sub><sup>2-</sup>能进入HA晶格, 形成与生物成因成分特征相符的碳羟磷灰石。

**关键词:** 模拟体液; 羟磷灰石; 磷酸八钙; 磷酸氢钙; pH值

中图分类号: P578.92<sup>+2</sup>; P579

文献标识码: A

文章编号: 1000-6524(2015)06-0950-07

## Influences of pH value on the growth of HA in simulated body fluid

WAN Meng-jiao, WANG Chang-qiu, MENG Fan-lu, LU An-huai and LI Yan

(Key Laboratory of Orogenic Belts and Crustal Evolution, MOE, School of Earth and Space Sciences, Peking University, Beijing 100871, China)

**Abstract:** Calcium phosphates were synthesized in simulated body fluid (SBF) which had the same calcium phosphate ratio with the human blood at 37℃ with different values of pH. The mineral phase and micromorphology of the products were studied by X-ray diffraction (XRD), Fourier transform infrared spectroscopy (FTIR), scanning electron microscope (SEM) and transmission electron microscope (TEM). The results indicate that mixture of crystalline dicalcium phosphate dihydrate (DCPD), octacalcium phosphate (OCP), and hydroxyapatite (HA) can be formed when the value of pH is 5.9. The DCPD are lamellar crystals with length of 10 μm and width of 3 μm. The OCP are also lamellar with their length being about 200 nm and the width between 50 nm and 100 nm. The rod-like HA are between 40 nm and 50 nm in length and 20 nm in width. When the value of pH is between 5.9 and 6.4, the length of crystals increases with the increase of pH and the crystals grow along axis c. When the value of pH exceeds 6.4, the product is HA and its length decreases with the increase of pH. When the value of pH ranges from 5.9 to 8.9, the crystallinity of HA decreases with the increase of pH. In the experiment, CO<sub>2</sub> in the air can dissolve in the mineral solution and develop into CO<sub>3</sub><sup>2-</sup>, and CO<sub>3</sub><sup>2-</sup> can enter the lattices of HA, which makes the composition of the synthesized HA in accordance with the biogenic carbonated hydroxyapatite.

**Key words:** simulated body fluid; hydroxyapatite; octacalcium phosphate (OCP); dicalcium phosphate dihydrate (DCPD); pH value

收稿日期: 2015-09-14; 修订日期: 2015-10-13

基金项目: 国家自然科学基金资助项目(41272048, 40872196)

作者简介: 万梦娇(1989- ), 女, 硕士研究生, 研究方向为环境矿物学; 通讯作者: 王长秋, E-mail: cqwang@pku.edu.cn。

含Ca磷酸盐矿物广泛存在于人体各种生理和病理性矿化中,其主要物相为羟磷灰石(HA)(秦善等,2008)。研究表明,生物体不同组织或器官中,HA的矿化程度、晶体尺寸、形貌以及组装结构不同。例如,骨骼中的HA呈板状结构(厚度为2~4 nm,长度和宽度为几十纳米),而牙釉质中的HA呈十几微米长、50 nm宽的针状形态(Heise *et al.*, 1990; Li *et al.*, 1994)。由于与人体骨组织有相似的化学成分和结构,HA具有良好的生物相容性和生物活性,是理想的骨组织替代材料,近20年来亦被广泛应用于整形外科和牙科领域(Heise *et al.*, 1990)。此外,HA还是人体病理钙化产物中的主要物相(Gilinskaya *et al.*, 2003),探讨HA的形成条件有可能为相关疾病的发病机制提供研究线索。因此,研究HA的合成具有重要意义。

人们普遍认为矿化离子浓度、酸碱度、温度、有机分子如蛋白质、聚糖等因素能调控生物成因HA的尺寸、形貌和组装结构,前人已对上述因素在共沉淀法、水热法、溶胶-凝胶法、微乳液法等传统合成HA方法中的调控作用进行了大量研究(Lazić *et al.*, 2001; Shellis *et al.*, 2010),但这些研究的实验条件与真实的人体环境差异大,且合成出的HA在配比组成、结晶度及性能上与生物成因的HA存在一定差距。利用模拟体液(SBF)仿生合成HA起步较晚,研究相对较少。Chen等(2009)在37℃、pH值为7.4时,以钛片为基底在不同浓度SBF体系中合成了比较纯净的纳米级HA。但人体不同组织内体液的pH值不同,大都在5~8.5范围内波动(少数体液如胃酸其pH值可低至0.8),研究不同pH值下HA的仿生合成有重要意义。因此,本文模拟人体血液钙磷比的矿化液环境,对不同pH值下含钙磷酸盐产物进行了FTIR、XRD、SEM、TEM表征,探讨了模拟体液中pH值对合成钙磷酸盐物相、晶体尺寸、形貌的调控作用。

## 1 实验与表征方法

### 1.1 试剂

试剂有氯化钙(CaCl<sub>2</sub>, 西陇化工股份有限公司)、磷酸二氢钠(NaH<sub>2</sub>PO<sub>4</sub>·2 H<sub>2</sub>O, 北京化工厂)、HEPES(C<sub>8</sub>H<sub>18</sub>N<sub>2</sub>O<sub>4</sub>S, 美国Sigma-Aldrich公司)和氢氧化钠(NaOH, 北京化工厂)。所有试剂均为分析

纯,直接使用,未进一步纯化。实验用水为三次去离子水。

### 1.2 合成方法

配制含CaCl<sub>2</sub>、NaH<sub>2</sub>PO<sub>4</sub>、HEPES的混合溶液1750 mL,各反应物浓度分别为12.5 mmol/L CaCl<sub>2</sub>、5 mmol/L NaH<sub>2</sub>PO<sub>4</sub>和50 mmol/L HEPES,将上述溶液平均分至7个锥形瓶中,再用5 mol/L NaOH溶液将7组反应液的初始pH值分别调至5.9、6.4、6.9、7.4、7.9、8.4、8.9,将锥形瓶置于37℃烘箱中培养3 d,反应结束时瓶中有大量絮状沉淀,抽滤溶液,洗涤,干燥沉淀物,得到实验样品。

### 1.3 表征方法

将所得样品进行粉末压片制样后,在日本理学D/MAX-rA型X射线衍射仪(Cu K<sub>α</sub>靶)上进行XRD测试( $\lambda = 0.154\ 056\ \text{nm}$ ,电压40 kV,电流100 mA,扫描速度4°/min,扫描范围3°~60°)。样品经KBr压片处理后,用美国Nicolet公司的Magna-IR 750傅立叶变换红外光谱仪对样品进行了红外光谱分析,实验条件是:分辨率4 cm<sup>-1</sup>,扫描次数32,测试范围400~4 000 cm<sup>-1</sup>。将粉末样品分散在乙醇中,将分散液滴在铜网上,室温下自然干燥制得电镜样品,用美国FEI公司的Tecnai G2 T20型透射电镜(TEM)和Nova Nano SEM 430扫描电镜(SEM)观察其形貌,工作电流和电压分别为200 mA和10 kV。

## 2 实验结果与讨论

该矿化液体系中,OH<sup>-</sup>参与钙磷酸盐的沉淀反应。溶液的pH值会随反应进行而发生改变,HEPES缓冲体系能有效缓冲pH值的变化。各组矿化液在反应前后的pH值变化(表1)为0.2~0.4,说明反应始终在比较稳定的pH值下进行。

表1 各体系反应前后矿化液的pH值变化

Table 1 The changes of pH value in different reaction systems

实验编号	反应初始pH值	反应结束pH值	前后pH变化值
a	5.9	5.5	0.4
b	6.4	6.0	0.4
c	6.9	6.5	0.4
d	7.4	7.2	0.2
e	7.9	7.7	0.2
f	8.4	8.2	0.2
g	8.9	8.5	0.4

## 2.1 物相分析

不同 pH 值下所得样品的 XRD 图谱见图 1。谱线 a 与标准衍射谱库中磷酸八钙 [OCP,  $\text{Ca}_8\text{H}_2(\text{PO}_4)_6 \cdot 5 \text{ H}_2\text{O}$ ] (JCPDS No. 26-1056)、磷酸氢钙 (DCPD,  $\text{CaHPO}_4 \cdot 2 \text{ H}_2\text{O}$ ) (JCPDS No. 11-0293)、HA [ $\text{Ca}_5(\text{PO}_4)_3\text{OH}$ ] (JCPDS No. 09-0432) 的谱峰对应, 峰强显示 DCPD 和 OCP 为主要物相, HA 为次要物相。相比标准图谱 (JCPDS No. 11-0293), DCPD 的 (020) 晶面衍射峰的强度有明显增强, 表明生成的 DCPD 有垂直 (020) 晶面、即沿 b 轴取向生长的趋势。谱线 a 中尖锐的主峰暗示矿物有较高的结晶度。图谱 b~g 衍射峰的峰形、 $2\theta$  角及强度非常接近, 符合 HA 的标准图谱。但图谱峰形宽化, 三强峰 (211)、(112)、(300) 未完全分离开, 显示生成的 HA 结晶度较低。随着 pH 值增大, 这一现象越明显, 说明 HA 的结晶度随 pH 值增大而降低。HA 的特征峰 (002) 的强度与标准谱峰相比略有增强, 说明 HA 晶体具有沿 c 轴取向生长的特点。

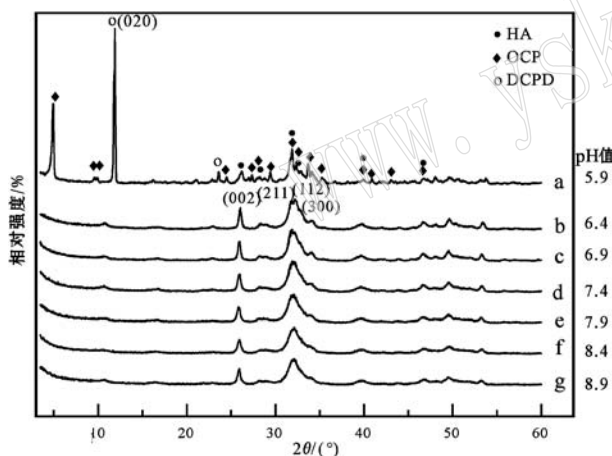


图 1 样品的 XRD 测试图谱

Fig. 1 XRD spectra of samples formed with different pH values

## 2.2 官能团分析

图 2 为样品的 FTIR 图谱。图谱 a 中  $565 \text{ cm}^{-1}$  和  $603 \text{ cm}^{-1}$  是 HA 中磷酸根的面内弯曲振动吸收峰,  $963 \text{ cm}^{-1}$  是磷酸根的对称伸缩振动吸收峰,  $1037 \text{ cm}^{-1}$  和  $1100 \text{ cm}^{-1}$  是磷酸根的反对称伸缩振动吸收峰 (Shaltout *et al.*, 2011)。DCPD 的磷酸根的吸收峰出现在  $528 \text{ cm}^{-1}$  (Combes *et al.*, 1998; He & Feng, 2007)。 $852$  和  $1074 \text{ cm}^{-1}$  是 OCP 的特征峰 (Fowler *et al.*, 1966; Anee *et al.*, 2004)。 $1400 \sim 1500 \text{ cm}^{-1}$

$\text{cm}^{-1}$  间 C—O 反对称伸缩振动吸收带发生了分裂, 形成了双峰 ( $1416$  和  $1460 \text{ cm}^{-1}$ ), 它不同于碳酸盐或游离  $\text{CO}_3^{2-}$  的红外吸收谱在此波段的单峰, 此处吸收峰的分裂是  $\text{CO}_3^{2-}$  进入 HA 晶格的标志 (Rehman & Bonfield, 1997; Lafon *et al.*, 2003), 这主要是由于实验过程中空气里的  $\text{CO}_2$  溶入矿化液, 形成的  $\text{CO}_3^{2-}$  发生对 HA 中阴离子的取代反应造成的。这种取代常见于生理性矿化如骨骼、病理性矿化如卵巢浆液癌砂粒体的 HA 中 (秦善等, 2008; 孟繁露等, 2013)。样品中吸附水的 O—H 伸缩振动吸收峰位于  $1643 \text{ cm}^{-1}$  和  $3450 \text{ cm}^{-1}$ , 图谱 a 中  $3450 \text{ cm}^{-1}$  处的宽峰上出现的  $3486 \text{ cm}^{-1}$  小峰是 DCPD 中结晶水的特征峰 (Temizel *et al.*, 2011)。

图谱 b~g 具有相似的峰形, 其与 a 的不同之处在于没有 DCPD、OCP 的特征峰, HA 位于  $1037$  和  $1100 \text{ cm}^{-1}$  处吸收峰的低分化程度说明晶体的结晶程度低。这一结果与 XRD 一致。

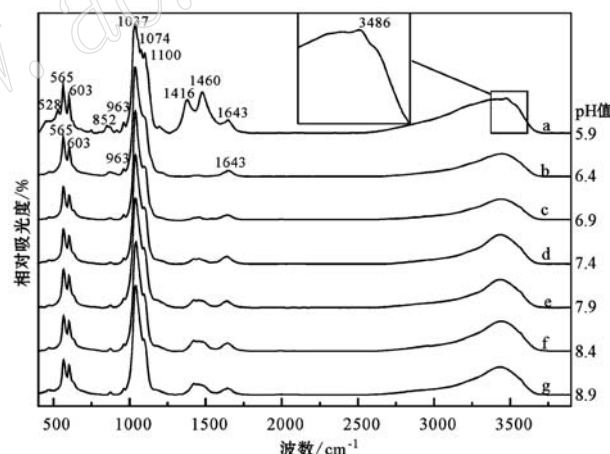


图 2 样品的 FTIR 吸收光谱图

Fig. 2 FTIR spectra of samples formed with different pH values

## 2.3 显微形貌分析

对所得样品的电镜图像测试见图 3。pH 值为 5.9 时, 合成的晶体具规则的棱角, 自形程度好 (图 3a、3b), 表明该条件下的样品具有较好的结晶度。根据超过 100 个单晶尺寸和形貌的统计, 该 pH 值下所得样品可分为 4 类: 长片状的 DCPD 晶体长约  $10 \mu\text{m}$ , 宽约  $3 \mu\text{m}$ ; OCP 晶体长约  $200 \text{ nm}$ , 宽  $50 \sim 100 \text{ nm}$ ; 棒状 HA, 长约  $200 \text{ nm}$ , 宽约  $20 \text{ nm}$ , 长径比约为 10:1; 另一种是长  $40 \sim 50 \text{ nm}$ 、宽约  $20 \text{ nm}$  的 HA 柱状晶体, 长径比约为 2:1。

当pH值为6.4时(图3c),大部分HA呈能看到较笔直晶棱的柱状晶体,晶体的结晶度较好,但已明显低于pH值为5.9时的结晶度;棒状晶体长100~150 nm,宽约10 nm,长径比大于10:1,柱状晶体长

100~150 nm,宽约30 nm,长径比约5:1。pH值为6.9时(图3d),所得晶体的结晶度明显变差,呈结晶度很差的棒状和不规则的片状,片状晶体长约50 nm,宽不到20 nm,长径比约3:1;棒状晶体长约50

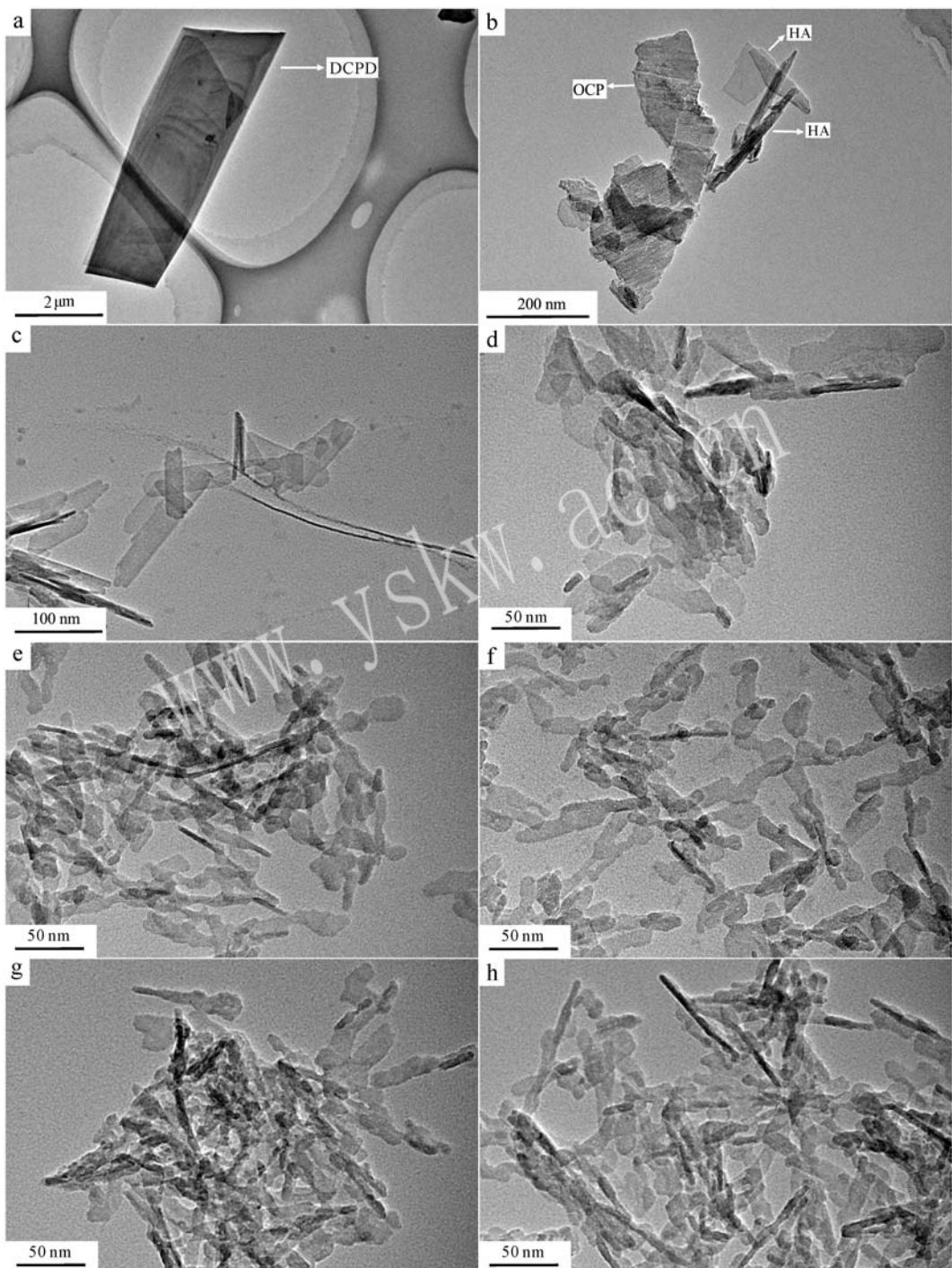


图3 样品a的SEM图片和样品b~g的TEM图片

Fig. 3 SEM image of sample a and TEM images of samples b~h  
反应pH值为5.9(a,b),6.4(c),6.9(d),7.4(e),7.9(f),8.4(g),8.9(h)

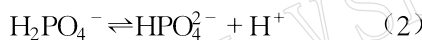
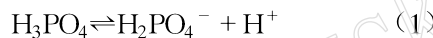
Samples a and b were formed at pH 5.9, samples c~h were synthesized with pH of 6.4 (c), 6.9 (d), 7.4 (e), 7.9 (f), 8.4 (g), 8.9 (h) respectively

nm, 宽约10 nm, 长径比约5:1。pH>6.9时, 形成的HA具有相似的形貌和尺寸, 呈针状和非常小的不规则片状分布(图3e~3h)。pH值为8.9时(图3h), 片状晶体的长20~30 nm, 宽10~20 nm, 长径比约2:1。

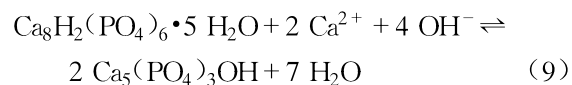
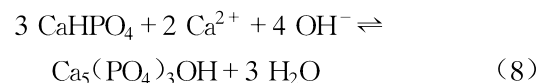
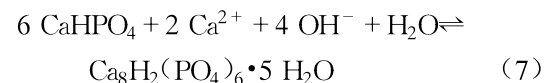
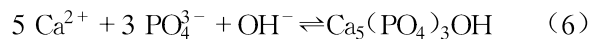
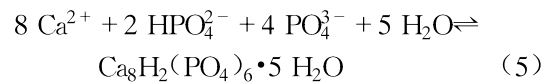
pH值为5.9时, 生成物具有较好结晶度, 但尺寸及形貌差异大。随pH值增大, 产物呈单一物相HA, 晶体形貌变化较小, 主要呈棒状和不规则片状, 晶体尺寸随pH值增大而变小, 结晶度随pH值增大而降低, 与XRD和FTIR结果一致。pH值从5.9增大到6.4时HA晶体长径比增大, pH值超过6.9时, HA的长径比随pH值的增大而减小。

### 3 不同矿化液中钙磷酸盐形成讨论

pH值影响磷酸根在溶液中的存在形式, 也影响钙磷酸盐沉淀物的物相组成。不同pH值下, 磷酸电离程度不同, 产物不同, 它在溶液中发生的水解反应如下:



模拟体液中的离子包括 $\text{Ca}^{2+}$ 、 $\text{Na}^+$ 、 $\text{H}_2\text{PO}_4^-$ 、 $\text{HPO}_4^{2-}$ 、 $\text{PO}_4^{3-}$ 、 $\text{OH}^-$ 、 $\text{H}^+$ 、 $\text{Cl}^-$ , 参与沉淀反应的离子有 $\text{Ca}^{2+}$ 、 $\text{HPO}_4^{2-}$ 、 $\text{PO}_4^{3-}$ 、 $\text{OH}^-$ , 溶液中发生的反应如下:



反应(4)、(5)、(6)分别生成沉淀物DCPD、OCP、HA。DCPD可与 $\text{OH}^-$ 发生反应(7)和(8)分别生成OCP和HA。OCP可以与 $\text{OH}^-$ 发生反应(9)生成HA。受 $\text{OH}^-$ 影响, 体系中能发生DCPD→OCP→HA的物相转化(Xie et al., 2002; Madsen, 2008)。

矿化液中浓度为5 mmol/L的 $\text{NaH}_2\text{PO}_4$ 是体系中磷酸根的来源, 反应初始时, 矿化液中参与沉淀的各离子初始浓度及HA、OCP、DCPD的离子积见表2。

表2 矿化液中参与沉淀的离子的浓度(mol/L)及HA、OCP、DCPD的离子积( $Q$ )

Table 2 Ion concentrations (mol/L) of  $\text{Ca}^{2+}$ ,  $\text{OH}^-$ ,  $\text{HPO}_4^{2-}$ ,  $\text{PO}_4^{3-}$  in solutions with different pH values and ion product ( $Q$ ) of HA, OCP, DCPD

pH	$[\text{Ca}^{2+}]$	$[\text{OH}^-]$	$[\text{HPO}_4^{2-}]$	$[\text{PO}_4^{3-}]$	$Q(\text{HA})$	$Q(\text{OCP})$	$Q(\text{DCPD})$
5.9	$1.25 \times 10^{-2}$	$7.94 \times 10^{-9}$	$2.38 \times 10^{-4}$	$8.31 \times 10^{-11}$	$1.39 \times 10^{-48}$	$1.61 \times 10^{-63}$	$2.98 \times 10^{-6}$
6.4	$1.25 \times 10^{-2}$	$2.51 \times 10^{-8}$	$6.83 \times 10^{-4}$	$7.55 \times 10^{-10}$	$3.30 \times 10^{-45}$	$9.06 \times 10^{-59}$	$8.54 \times 10^{-6}$
6.9	$1.25 \times 10^{-2}$	$7.94 \times 10^{-8}$	$1.67 \times 10^{-3}$	$5.82 \times 10^{-9}$	$4.78 \times 10^{-42}$	$1.90 \times 10^{-54}$	$2.08 \times 10^{-5}$
7.4	$1.25 \times 10^{-2}$	$2.51 \times 10^{-7}$	$3.06 \times 10^{-3}$	$3.39 \times 10^{-8}$	$2.98 \times 10^{-39}$	$7.37 \times 10^{-51}$	$3.83 \times 10^{-5}$
7.9	$1.25 \times 10^{-2}$	$7.94 \times 10^{-7}$	$4.17 \times 10^{-3}$	$1.45 \times 10^{-7}$	$7.46 \times 10^{-37}$	$4.64 \times 10^{-48}$	$5.21 \times 10^{-5}$
8.4	$1.25 \times 10^{-2}$	$2.51 \times 10^{-6}$	$4.70 \times 10^{-3}$	$5.20 \times 10^{-7}$	$1.08 \times 10^{-34}$	$9.63 \times 10^{-46}$	$5.88 \times 10^{-5}$
8.9	$1.25 \times 10^{-2}$	$7.94 \times 10^{-6}$	$4.90 \times 10^{-3}$	$1.71 \times 10^{-6}$	$1.21 \times 10^{-32}$	$1.23 \times 10^{-43}$	$6.13 \times 10^{-5}$

表2显示初始矿化液中, 随矿化液pH值增大, 溶液中发生沉淀反应的离子浓度增大, HA、OCP、DCPD的离子积随之增大, 表明随矿化液pH值增大, 沉淀越容易形成。HA、OCP、DCPD的 $K_{sp}$ 分别为 $2.3 \times 10^{-59}$ 、 $2.0 \times 10^{-49}$ 、 $1.0 \times 10^{-9}$ , 溶液中各矿物的离子积大于其 $K_{sp}$ 时, 能产生沉淀。pH值为5.9的初始矿化液中, HA与DCPD的离子积均大于其 $K_{sp}$ , 体系中发生反应(4)、(6), 生成的DCPD能与 $\text{OH}^-$ 发生(7)、(8)反应生成OCP和HA, 但由于此时

溶液中 $\text{OH}^-$ 浓度偏小, DCPD可稳定存在, 只有小部分DCPD转化成OCP、HA, 体系处于平衡状态时, 这3种矿物并存;pH值为5.9时, 矿化液中 $\text{HPO}_4^{2-}$ 浓度高, DCPD可以得到充分地生长, 因此生成的DCPD晶体较大。随pH值增大,  $\text{OH}^-$ 浓度增大, 矿化液中先形成HA、DCPD沉淀, 生成的DCPD在溶液中过浓 $\text{OH}^-$ 的影响下, 发生反应(7)、(8)变成OCP和HA, 生成的OCP又与 $\text{OH}^-$ 发生反应(9)形成HA。随着反应的发生, 发生沉淀反应各离子的浓

度逐渐降低,低到一定程度时,溶液中各沉淀物的离子积小于其  $K_{sp}$ ,反应结束。pH值大于6.4时,生成的DCPD和OCP在OH<sup>-</sup>的影响下全部转化成HA,矿化液中的生成物为HA。这与XRD分析的结果相吻合。

形成晶体的过程中,溶液中阴、阳离子会因电荷吸引先形成一些离子配位体,这些配位体进一步作用成大的聚集体,生成沉淀。该实验体系中的阴、阳离子分别是OH<sup>-</sup>、HPO<sub>4</sub><sup>2-</sup>、PO<sub>4</sub><sup>3-</sup>、Ca<sup>2+</sup>,反应时,这些离子相互吸引可缔合成OH-Ca<sub>6</sub>、Ca-P<sub>6</sub>O<sub>24</sub>两种配位体作为生长基元参与晶体生长(Blackburn & Dennen, 1988)。

pH值为5.9时,因OH<sup>-</sup>浓度较小,OH-Ca<sub>6</sub>配位体较难形成,阴离子配位体Ca-P<sub>6</sub>O<sub>24</sub>与H<sup>+</sup>结合形成CaHPO<sub>4</sub>晶体,CaHPO<sub>4</sub>水解重结晶,与溶液中少量的阳离子配位体OH-Ca<sub>6</sub>反应生成OCP和HA,由于此时溶液中OH-Ca<sub>6</sub>较少,反应速度相对缓慢,长成的晶体结晶度较好。HA晶体是极性晶体,配位数为9的Ca(I)位于上下两层6个[PO<sub>4</sub><sup>3-</sup>]四面体之间,配位数为7的Ca(II)与其相邻4个[PO<sub>4</sub><sup>3-</sup>]中的6个角顶上的O<sup>2-</sup>及OH<sup>-</sup>相连,结晶过程中,Ca-P<sub>6</sub>O<sub>24</sub>配位体沿c轴方向吸附在晶体上,OH-Ca<sub>6</sub>沿a、b轴方向延伸(Kay *et al.*, 1964)。pH值增大到6.4时,OH-Ca<sub>6</sub>浓度增大,与Ca-P<sub>6</sub>O<sub>24</sub>组合生成HA晶体,c轴方向Ca<sup>2+</sup>连接络阴离子Ca-P<sub>6</sub>O<sub>24</sub>的速度大于垂直c轴的方向,形成的晶体沿c轴方向取向生长,长径比增大。pH值大于6.9时,随OH<sup>-</sup>浓度增高,Ca<sup>2+</sup>更大比例与OH<sup>-</sup>缔结成OH-Ca<sub>6</sub>,PO<sub>4</sub><sup>3-</sup>与Ca<sup>2+</sup>缔结成Ca-P<sub>6</sub>O<sub>24</sub>的比例减小,同时,因pH值增大时OH<sup>-</sup>大量吸附在HA晶体表面,HA吸附Ca-P<sub>6</sub>O<sub>24</sub>的能力降低,使晶体沿c轴方向的生长速率变小。此时沿a、b、c轴3个方向的生长速度的差异减小,表现为晶体的长径比变小。所以pH值从5.9增大到8.9时,HA晶体会出现长径比先增大后减小的现象。pH值增大时,Ca-P<sub>6</sub>O<sub>24</sub>浓度增大。在pH值偏低时,单个或几个Ca-P<sub>6</sub>O<sub>24</sub>构成维度较小的生长基元,在向晶面上叠加时取向性明显,形成的晶体具有各向异性的结构特征。当pH值增大,溶液过饱和度较高,生长基元的维度增大,叠加时取向性降低,形成的晶体各向异性的结构特征减弱。所以实验中pH值越大,HA的结晶度越差。实验中并未向矿化液中加入含CO<sub>3</sub><sup>2-</sup>的反应物,也未对反应条件

进行特别限制,空气中的CO<sub>2</sub>溶入溶液形成CO<sub>3</sub><sup>2-</sup>后,便能对HA中的阴离子进行取代反应生成碳羟磷灰石。由此可启发我们:人体中生成的HA的阴离子被CO<sub>3</sub><sup>2-</sup>取代,并形成碳羟磷灰石是很正常的情况。

## 4 结论

在37℃培养环境中,模拟人体血液钙磷比的矿化液中合成的HA晶体尺寸不超过200 nm。pH值为5.9时,该实验体系下能生成晶型比较完好的DCPD、OCP、HA混合物,DCPD片状晶体长约10 μm,宽约3 μm;OCP片状晶体长约200 nm,宽50~100 nm;HA棒状晶体长约200 nm,宽约20 nm,HA柱状晶体长40~50 nm,宽约20 nm。pH值大于6.4时,生成物为HA。pH值从5.9增大到6.4时,HA晶体的长径比随pH值的增大而增大,晶体沿c轴生长;pH值大于6.4时,HA晶体的长径比随pH值的增加而减小。pH值从5.9增大到8.9时,随着pH值的增大,生成的HA的结晶度越来越低。生成的HA中阴离子被CO<sub>3</sub><sup>2-</sup>部分替代,这与生物成因的HA的成分特征相符。

## References

- Anee T K, Palanichamy M, Ashok M, *et al.* 2004. Influence of iron and temperature on the crystallization of calcium phosphates at the physiological pH[J]. Materials Letters, 58(3): 478~482.
- Anee T K, Sundaram N M, Arivuoli D, *et al.* 2005. Influence of an organic and an inorganic additive on the crystallization of dicalcium phosphate dihydrate[J]. Journal of Crystal Growth, 285(3): 380~387.
- Blackburn W H and Dennen W H. 1988. Principles of Mineralogy[M]. Dubuque, Iowa: Wm. C Brown Publishers, 299.
- Chen X, Li Y, Hodgson P D, *et al.* 2009. Microstructures and bond strengths of the calcium phosphate coatings formed on titanium from different simulated body fluids[J]. Materials Science and Engineering: C, 29(1): 165~171.
- Combes C, Rey C and Freche M. 1998. XPS and IR study of dicalcium phosphate dihydrate nucleation on titanium surfaces[J]. Colloids and surfaces B: Biointerfaces, 11(1): 15~27.
- Fowler B O, Moreno E C and Brown W E. 1966. Infra-red spectra of

- hydroxyapatite, octacalcium phosphate and pyrolysed octacalcium phosphate[J]. Archives of oral Biology, 11(5): 477~492.
- Gilinskaya L G, Grigorjeva T N, Okuneva G N, et al. 2003. Investigation of pathogenic mineralization on human heart valves. 1. Chemical and phase composition[J]. Journal of Structural Chemistry, 44(4): 622~631.
- He L and Feng Z. 2007. Preparation and characterization of dicalcium phosphate dihydrate coating on enamel[J]. Materials Letters, 61(18): 3 923~3 926.
- Heise U, Osborn J F and Duwe F. 1990. Hydroxyapatite ceramic as a bone substitute[J]. International Orthopaedics, 14(3): 329~338.
- Kawasaki T, Niikura M and Kobayashi Y. 1990. Fundamental study of hydroxyapatite high-performance liquid chromatography: III. Direct experimental confirmation of the existence of two types of adsorbing surface on the hydroxyapatite crystal[J]. Journal of Chromatography A, 515: 125~148.
- Kay M I, Young R A and Posner A S. 1964. Crystal structure of hydroxyapatite[J]. Nature, 204: 1 050~1 052.
- Lafon J P, Champion E, Bernache-Assollant D, et al. 2003. Thermal decomposition of carbonated calcium phosphate apatites[J]. Journal of Thermal Analysis and Calorimetry, 72(3): 1 127~1 134.
- Lazić S, Zec S, Miljević N, et al. 2001. The effect of temperature on the properties of hydroxyapatite precipitated from calcium hydroxide and phosphoric acid[J]. Thermochimica Acta, 374(1): 13~22.
- Li T, Takikawa K, Yoshizawa K, et al. 1994. Reaction of hydroxyapatite-sol in bone marrow[J]. Bio-medical Materials and Engineering, 5(2): 83~92.
- Madsen H E L. 2008. Influence of foreign metal ions on crystal growth and morphology of brushite ( $\text{CaHPO}_4 \cdot 2\text{H}_2\text{O}$ ) and its transformation to octacalcium phosphate and apatite[J]. Journal of Crystal Growth, 310(10): 2 602~2 612.
- Meng Fanlu, Wang Changqiu, Li Yan, et al. 2013. Mineralogy of psammoma bodies in two types of ovarian tumors[J]. Earth Science Frontiers, 20(3): 154~160(in Chinese with English abstract).
- Qin Shan, Lu Anhuai and Wang Changqiu. 2008. The minerals in the human body[J]. Earth Science Frontiers, 15(6): 32~39(in Chinese with English abstract).
- Rehman I and Bonfield W. 1997. Characterization of hydroxyapatite and carbonated apatite by photo acoustic FTIR spectroscopy[J]. Journal of Materials Science: Materials in Medicine, 8(1): 1~4.
- Shaltout A A, Allam M A and Moharram M A. 2011. FTIR spectroscopic, thermal and XRD characterization of hydroxyapatite from new natural sources[J]. Spectrochimica Acta Part A: Molecular and Biomolecular Spectroscopy, 83(1): 56~60.
- Shellis R P, Barbour M E, Jones S B, et al. 2010. Effects of pH and acid concentration on erosive dissolution of enamel, dentine, and compressed hydroxyapatite[J]. European Journal of Oral Sciences, 118(5): 475~482.
- Ślōsarczyk A, Paszkiewicz Z and Paluszkiewicz C. 2005. FTIR and XRD evaluation of carbonated hydroxyapatite powders synthesized by wet methods[J]. Journal of Molecular Structure, 744: 657~661.
- Temizel N, Girisken G and Tas A C. 2011. Accelerated transformation of brushite to octacalcium phosphate in new biomineratization media between 36.5°C and 80°C[J]. Materials Science and Engineering: C, 31(5): 1 136~1 143.
- Xie J, Riley C, Kumar M, et al. 2002. FTIR/ATR study of protein adsorption and brushite transformation to hydroxyapatite[J]. Biomaterials, 23(17): 3 609~3 616.

## 附中文参考文献

- 孟繁露, 王长秋, 李艳, 等. 2013. 两种卵巢肿瘤中砂粒体的矿物学研究[J]. 地学前缘, 20(3): 154~160.
- 秦善, 鲁安怀, 王长秋. 2008. 人体中的矿物[J]. 地学前缘, 15(6): 32~39.